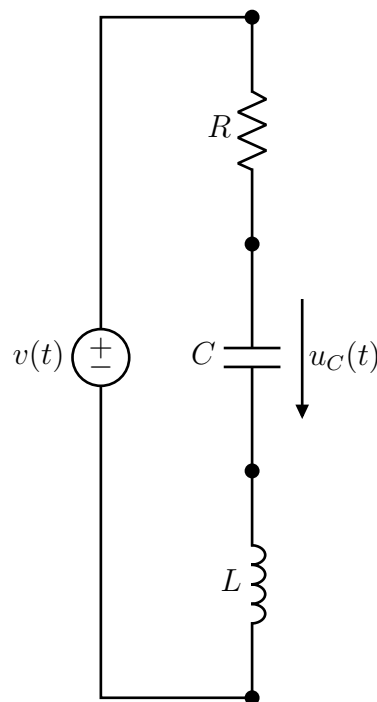


## Nachtrag zur Hausaufgabe 1: Harmonisch eingeschwungener Zustand und Resonanz

Das untenstehende Netzwerkmodell besteht aus einem Widerstand  $R > 0$ , einer Induktivität  $L > 0$ , einer Kapazität  $C > 0$  und einer idealen festen Spannungsquelle  $v(t) = V_0 \cos(\omega_1 t)$ . Das Netzwerk befindet sich im harmonisch eingeschwungenen Zustand.

(Das Netzwerk wird mit einer cos-Funktion fester Frequenz  $\omega_1$  erregt. Für  $t \rightarrow \infty$  stellt sich ein eingeschwungener Zustand ein und alle Ströme und Spannungen des Netzwerks schwingen mit der gleichen Frequenz  $\omega_1$ .)



Frequenzgang (Aufstellen mit Hilfe der Spannungsteilerregel):

$$H(j\omega) = \frac{U_C}{V} = \frac{\frac{1}{j\omega C}}{\frac{1}{j\omega C} + R + j\omega L} = \frac{1}{(j\omega)^2 LC + j\omega CR + 1}$$

Die Polstellen des Frequenzgangs sind bei Teilerfremdheit von Zähler und Nenner die Nullstellen des Nenners.

Die Polstellen des Frequenzgangs  $H(j\omega)$  sind:

$$s_{1,2} = -\frac{R}{2L} \pm \sqrt{\frac{R^2}{4L^2} - \frac{1}{LC}}$$

Damit bei einem Netzwerk eine Resonanz auftreten kann, muss das Netzwerk auch ohne Erregung schwingfähig sein (homogene Lösung der Differentialgleichung). Dafür muss der Frequenzgang ein komplex-konjugiertes Polpaar haben.

Damit bei diesem Netzwerk eine Resonanz auftreten kann, muss für  $R$  bei vorgegebenem  $L$  und  $C$  gelten:  $R < 2\sqrt{\frac{L}{C}}$ .

Für  $R \geq 2\sqrt{\frac{L}{C}}$  gibt es keine Frequenz  $\omega_1$ , bei der eine Resonanz auftritt.

Im harmonisch eingeschwungenen Zustand gilt für den Phasor  $U_C = H(j\omega)V$  in der komplexen Wechselstromrechnung die folgende Darstellung im Zeitbereich:

$$\begin{aligned} u_C(t) &= \operatorname{Re} \left\{ U_C e^{j\omega_1 t} \right\} = \operatorname{Re} \left\{ H(j\omega_1) V e^{j\omega_1 t} \right\} = \operatorname{Re} \left\{ |H(j\omega_1)| e^{j\varphi} V_0 e^{j\omega_1 t} \right\} \\ &= |H(j\omega_1)| V_0 \cos(\omega_1 t + \varphi) \end{aligned}$$

mit

$$|H(j\omega)| = \frac{1}{\sqrt{(1 - \omega^2 LC)^2 + \omega^2 C^2 R^2}}, \quad \varphi = \begin{cases} -\arctan \frac{\omega_1 CR}{1 - \omega_1^2 LC}, & 1 > \omega_1^2 LC \\ -\arctan \frac{\omega_1 CR}{1 - \omega_1^2 LC} - \pi, & 1 < \omega_1^2 LC \\ -\frac{\pi}{2}, & 1 = \omega_1^2 LC \end{cases}$$

Die Fallunterscheidung für  $\varphi$  ist notwendig, um eine eindeutige und korrekte Lösung für beliebige Werte von  $L$ ,  $C$  und  $\omega_1$  zu erhalten.

Bei einer Änderung der Frequenz  $\omega_1$  ändert sich an der Lösung für  $u_C(t)$  in symbolischer Form nichts.

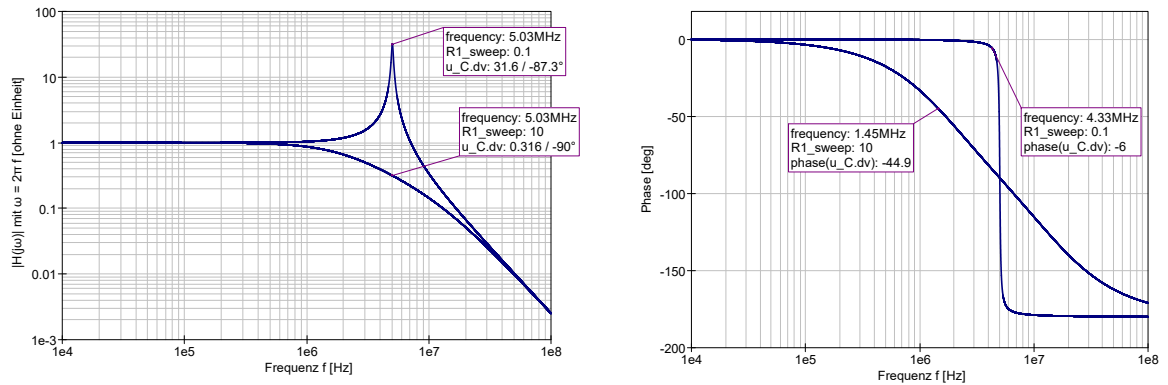
Die Resonanzfrequenz ist eine Extremstelle des frequenzabhängigen Betrags des Frequenzgangs  $H(j\omega)$ .

Um die Resonanzfrequenz  $\omega_0$  zu ermitteln, sind die Nullstellen der ersten Ableitung von  $|H(j\omega)|$  zu bestimmen.

$$\frac{d |H(j\omega)|}{d\omega} = 0 \Rightarrow \omega_0 = \sqrt{\frac{1}{LC} - \frac{R^2}{2L^2}}$$

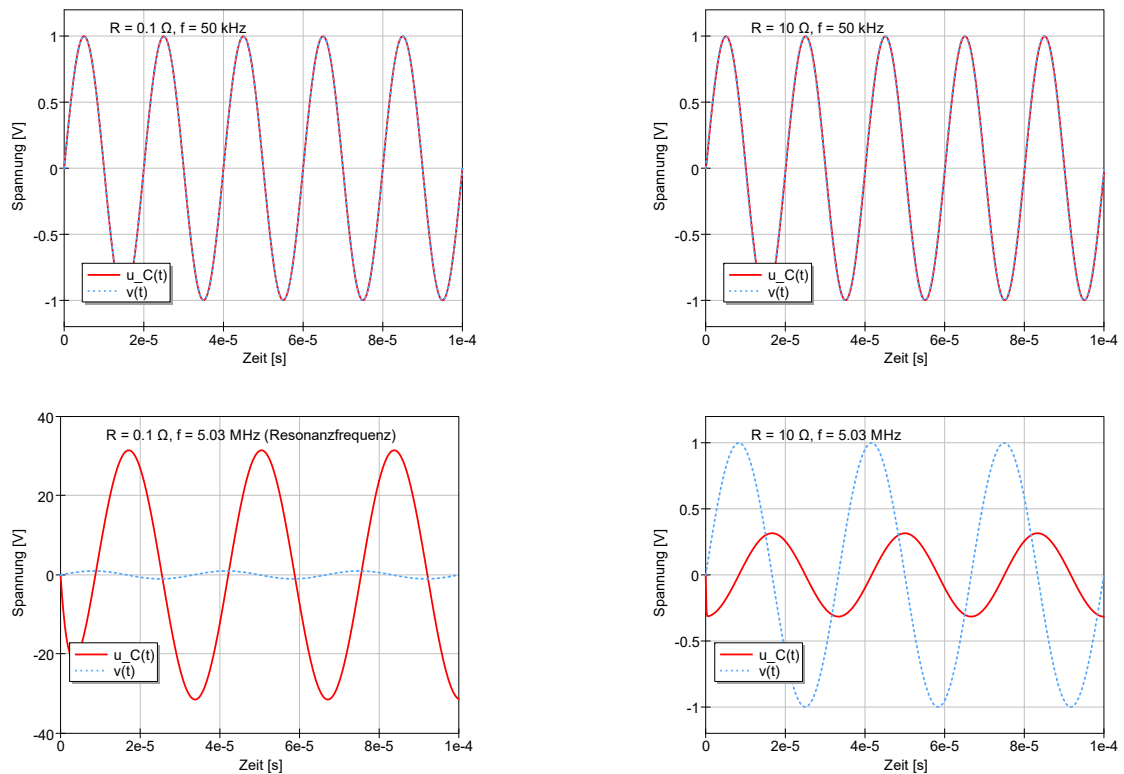
Zur Verdeutlichung werden die Ergebnisse einer Simulation mit qucs mit  $L = 100 \text{ nH}$ ,  $C = 10 \text{ nF}$ ,  $V_0 = 1 \text{ V}$  und  $R = 0.1 \Omega$  ( $R < 2\sqrt{\frac{L}{C}}$ ),  $R = 10 \Omega$  ( $R \geq 2\sqrt{\frac{L}{C}}$ ) gezeigt.

- a) Ergebnisse der Frequenzbereichssimulation für  $R = 0.1 \Omega$  und  $R = 10 \Omega$ ; Darstellung des Betrags und der Phase in einem Bodediagramm:



Es ist gut zu erkennen, dass es für  $R = 0,1 \Omega$  zu einer Resonanzspitze im Betragsverlauf kommt. Dagegen tritt für  $R = 10 \Omega$  keine Resonanz auf, da das Netzwerk überdämpft ist.

- b) Simulationsergebnisse für  $u_C(t)$  mit  $R = 0.1 \Omega$  und  $R = 10 \Omega$  bei den Frequenzen  $f = 50 \text{ kHz}$  und  $f = 5.03 \text{ MHz}$ .



Für  $R = 0,1 \Omega$  zeigt sich die Resonanzspitze im Zeitbereich als starke Erhöhung der Amplitude bei der Resonanzfrequenz.